

## II-107

## 下水汚泥からの重金属の半連續溶出に及ぼすバクテリアリーチングの効果

岩手大学工学部 学生員○伊藤歩 佐藤義秋 斎藤紀子  
正員 相沢治郎 海田輝之 大村達夫

## 1.はじめに

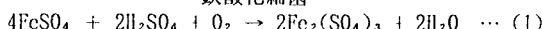
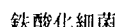
現在、下水処理場から発生する汚泥は、処分地確保等の問題や資源の有効利用の観点から緑農地への還元が求められている。しかし、下水中の微量な重金属は下水の処理過程において汚泥中に蓄積されるため、このような汚泥を直接緑農地に還元することは土壤を重金属で汚染する危険性があると考えられる。これまで行ってきた回分実験の結果から鉄酸化細菌によるリーチングが汚泥からの重金属の溶出に効果的であることが分かっており、連続的な重金属の溶出が可能であると考えられる。本実験では重金属の半連續溶出に及ぼす鉄酸化細菌によるリーチングの効果について検討した。

## 2.実験条件及び方法

図-1に実験装置を示す。反応槽は5Lのポリエチレン容器を用い、pHはpHコントローラーで調整を行った。表-1に実験条件を示す。実験試料はRun1, 2で蒸留水31と汚泥525g、Run3で硫酸第一鉄溶液31と汚泥525gとし、Run2, 3には鉄酸化細菌を100ml添加し、全てのRunでpHを3に調整し、25°C、220rpmで攪拌を行った。汚泥滞留時間は3日とし、1日1回のfill and draw方式で運転を行った。また、鉄酸化細菌は実験初期においてのみ添加し、馴致せずに実験を開始した。実験期間は全てのRunで溶出量が一定になるまでとした。測定項目は各重金属濃度及びFe<sup>2+</sup>濃度とし、各重金属濃度の測定は原子吸光法により行い、Fe<sup>2+</sup>濃度の測定は過マンガン酸カリウム滴定法またはフェナントロリン法により行った。また、実験に用いた汚泥は岩手県北上川上流域下水道都南処理区の終末処理場から採取した消化脱水汚泥であり、表-2に実験に用いた汚泥中の重金属含有量を示す。

## 3.実験結果及び考察

図-1にFe<sup>2+</sup>濃度の経日変化を示す。pHを3に調整したRun1ではFe<sup>2+</sup>濃度がわずかに増加し、鉄酸化細菌を添加したRun2ではFe<sup>2+</sup>濃度の増加はほとんど見られなかった。また、鉄酸化細菌と硫酸第一鉄を添加したRun3ではFe<sup>2+</sup>濃度の減少が見られ、4日目でほぼ0となった。Run1におけるFe<sup>2+</sup>濃度の増加は汚泥中に存在するFe<sup>2+</sup>がpHの低下により溶出したものと考えられる。また、Run2におけるFe<sup>2+</sup>濃度の減少は、Run1で溶出したFe<sup>2+</sup>を反応式(1)、



に示すように鉄酸化細菌が酸化したものと考えられる。さらに、Run3におけるFe<sup>2+</sup>濃度の減少は、Run2と同様な反応によるものと考えられ、4日目以降では硫酸第一鉄を添加した直後の反応槽内におけるFe<sup>2+</sup>濃度は1000mg/L程度になっていると考えられ、このFe<sup>2+</sup>の多くを鉄酸化細菌が1日で酸化したものと考察できる。

次に、図-2～6に各重金属溶出量の経日変化を示す。まず、図-2のCdではpHを3に調整したRun1において溶出が起こり、pHを3に調整した効果が見られた。また、鉄酸化細菌を添加したRun2ではRun1に比べてわずかに溶出量の増加が見られ、鉄酸化細菌添加の効果がわずかに見られた。また、鉄酸化細菌と硫酸第一鉄を添加したRun3では最も溶出が起こり、鉄酸化細菌によるリーチングの効果が見られ、溶出量は4日目以降に定常となった。次に、図-3のNiではRun1, 2において溶出が起こったが、

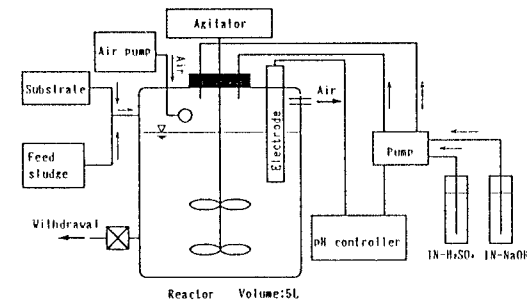


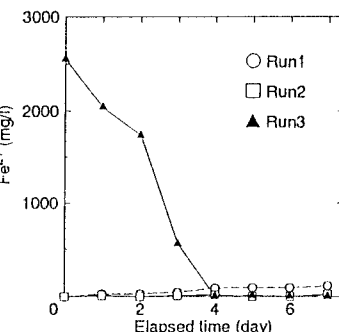
図-1 実験装置

表-1 実験条件

| Run. No | pH | 実験試料      |                | 鉄酸化細菌の添加                              |
|---------|----|-----------|----------------|---------------------------------------|
|         |    | 汚泥        | 溶液             |                                       |
| 1       | 3  | 525g      | 蒸留水 (0g Fe/1)  | 0ml                                   |
| 2       |    |           | 蒸留水 (0g Fe/1)  | 31 100mL(1.47×10 <sup>7</sup> cell/l) |
| 3       |    | (dry:95g) | 硫酸第一鉄(3g-Fe/1) | 100mL(1.00×10 <sup>7</sup> cell/l)    |

表-2 汚泥中重金属含有量

| 金属名         | Cd  | Ni | Cu  | Mn  | Zn   | Fe    |
|-------------|-----|----|-----|-----|------|-------|
| 含有量 (mg/kg) | 3.1 | 28 | 423 | 728 | 1623 | 22311 |

図-1 Fe<sup>2+</sup>濃度の経日変化

Run2における鉄酸化細菌添加の効果はほとんど見られなかった。また、Run3ではリーチングの効果が見られ、溶出量はほぼ3日目以降に定常となった。次に、図-4、5のMnとZnでは各RunでNiと同様な結果が得られたが、Run3の溶出量はほぼ2日目以降に定常となった。次に、CuではRun1において溶出が起こらず、pH低下の効果は見られなかった。また、Run2ではRun1に比べてわずかに溶出が起こっており、鉄酸化細菌添加の効果がわずかに見られた。また、Run3ではRun1, 2に比べてかなり溶出が起こっており、鉄酸化細菌によるリーチングの効果が顕著に見られた。さらに、溶出は初期にlagが生じ、溶出量はほぼ5日目以降に定常となった。

次に、表-3に各重金属の4日目以降における平均溶出量及び溶出率を示す。

Run1ではCu以外の金属でpH

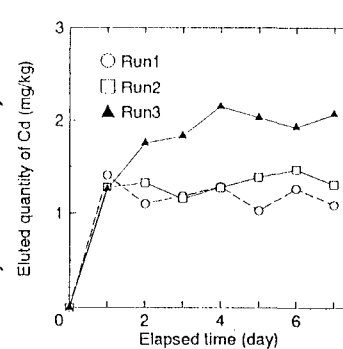


図-2 Cdの溶出量変化

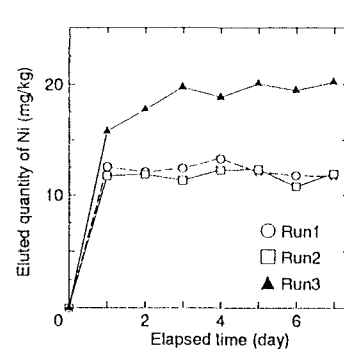


図-3 Niの溶出量変化

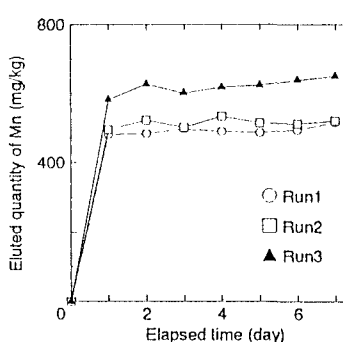


図-4 Mnの溶出量変化

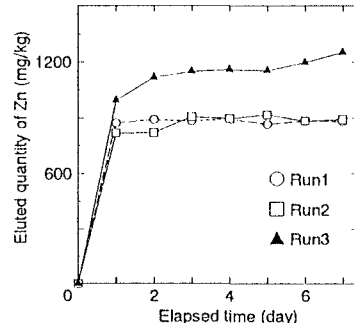


図-5 Znの溶出量変化

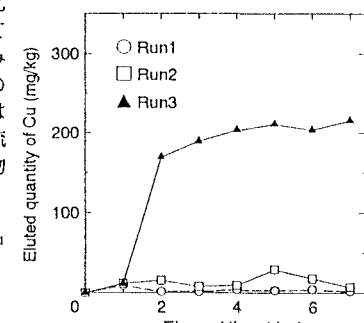
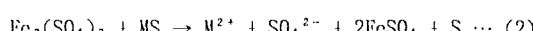


図-6 Cuの溶出量変化

さらに、Run3の全ての金属において、溶出率の向上が見られたことは、反応式(1)によって生じた第二鉄が反応式(2)、



金属硫化物

に示すように汚泥中に存在する金属硫化物を酸化し、金属の溶出を促進させたものと考えられ、特にCuの溶出には(2)の反応が非常に効果的であったと考えられる。

#### 4. おわりに

本実験結果から鉄酸化細菌による連続的な汚泥からの重金属のリーチングが3日の汚泥滞留時間で可能であることがあることが分かった。また、CuはpHを3に調整しただけではほとんど溶出しないことから、Cuの溶出には鉄酸化細菌によるリーチングが非常に効果的であることが分かった。今後は汚泥濃度等の条件について検討するつもりである。